

# Estacionariedad débil

## Detección en series electrofisiológicas

---

Julio Cesar Enciso Alva

Neuroscience Short Course

6 de julio de 2017

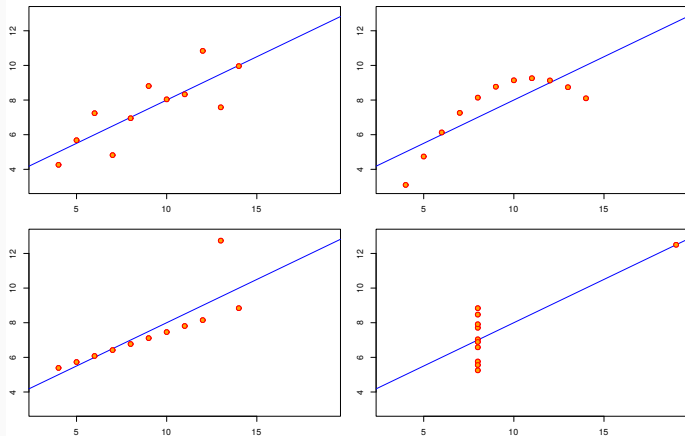
Instituto de Ciencias Básicas e Ingeniería

Universidad Autónoma del Estado de Hidalgo

El estudio y diagnóstico de una gran cantidad de enfermedades depende de nuestra habilidad para registrar y analizar señales electrofisiológicas.

Se suele asumir que estas señales son complejas: no lineales, **no estacionarias** y sin equilibrio por naturaleza. Pero usualmente no se comprueban formalmente estas propiedades.

# Motivación: formalidad



# Conceptos

---

## Definición (Estacionariedad débil)

Un proceso estocástico es débilmente estacionario si y sólo si para cualesquiera tiempos admisibles  $t, s$  se tiene que

- $E[X(t)] = \mu_X$
- $\text{Var}(X(t)) = \sigma_X^2$
- $\text{Cov}(X(t), X(s)) = \rho_X(s - t)$

Con  $\mu_X, \sigma_X^2$  constantes,  $\rho_X(\tau)$  únicamente depende de  $\tau$

## Teorema (Wiener-Khinchin)

Una condición suficiente y necesaria para que  $\rho$  sea función de autocorrelación para algún proceso a tiempo continuo débilmente estacionario y estocásticamente continuo,  $\{X(t)\}$ , es que exista una función  $F$  tal que

$$\rho(\tau) = \int_{-\infty}^{\infty} e^{i\omega\tau} dF(\omega)$$

Se consideran procesos no-estacionarios, estocásticamente continuos, de media cero y varianza finita, y que admitan una representación de la forma

$$X(t) = \int_{-\pi}^{\pi} A(t, \omega) e^{it\omega} dZ(\omega)$$

tal que

- $\text{Cov}(dZ(\omega), dZ(\lambda)) = 0 \Leftrightarrow \omega \neq \lambda$
- $E[|dZ(\omega)|^2] = \mu(\omega)$

El espectro evolutivo fue definido por Priestley<sup>1</sup> como

$$f(t, \omega) = |A(t, \omega)|^2$$

---

<sup>1</sup>Maurice B Priestley. "Evolutionary spectra and non-stationary processes". En: Journal of the Royal Statistical Society. Series B (Methodological) (1965), págs. 204-237.

Supóngase que puede\* expresarse

$$X_t = \int_{-\pi}^{\pi} A_t(\omega) e^{i\omega t} d\xi(\omega)$$



Supóngase que puede\* expresarse

$$X_t = \int_{-\pi}^{\pi} A_t(\omega) e^{i\omega t} d\xi(\omega)$$

$X_t$  es estacionaria  $\Rightarrow A_t(\omega)$  es constante  $\Rightarrow f_t(\omega)$  es constante

Supóngase que puede\* expresarse

$$X_t = \int_{-\pi}^{\pi} A_t(\omega) e^{i\omega t} d\xi(\omega)$$

$X_t$  es estacionaria  $\Rightarrow A_t(\omega)$  es constante  $\Rightarrow f_t(\omega)$  es constante

La contrapositiva

$f_t(\omega)$  no constante  $\Rightarrow X_t$  no es estacionaria

Por hacer: Encontrar un buen estimador para  $f_t$

# Metodología, teoría

---

## Descomposición clásica usando loess

Filtro no-paramétrico para generar las series de tiempo

$$X_t = T_t + S_t + R_t$$

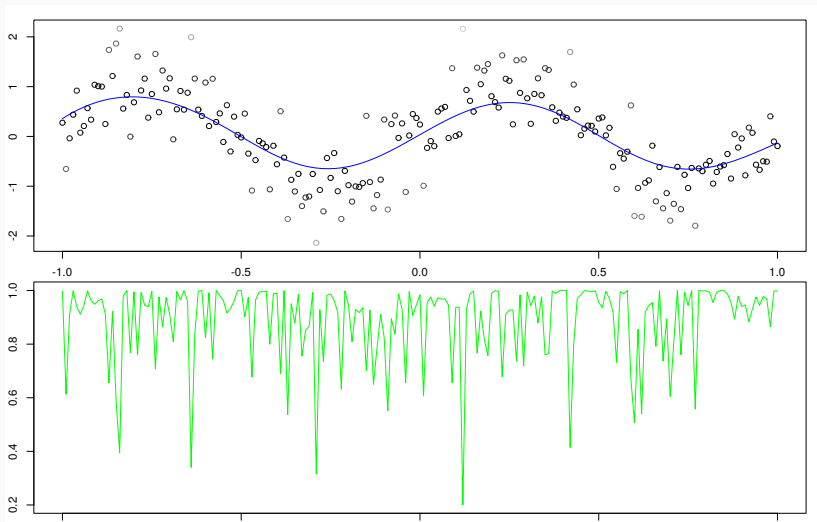
Tales que:

$S_t$  Función periódica suave (frecuencia dada)  
Componente estacional

$T_t$  Función suave, no necesariamente periódica  
Tendencia

$R_t$  Residuo

Comando en R: **stl()**



Definición (Estimador de doble ventana)

Se define a  $\hat{f}$ , estimador para la  $f$ , como

$$\hat{f}(t, \omega) = \int_{t-T}^t w_{T'}(u) |U(t-u, \omega)|^2 du$$

## Proposición

El estimador de doble ventana  $\hat{f}$  tiene las siguientes propiedades

- $E \left[ \hat{f}(t, \omega) \right] \approx f(t, \omega)$
- $\text{Var} \left( \hat{f}(t, \omega) \right) \approx \frac{C}{\tau} f^2(t, \omega) \int_{-\infty}^{\infty} |\Gamma(\theta)|^4 d\theta$
- $\text{Cov} \left( \hat{f}(t_1, \omega_1), \hat{f}(t_2, \omega_2) \right) \approx \int_{-\infty}^{\infty} \int_{-\infty}^{\infty} w_{\tau}(u) w_{\tau}(v) \text{Cov} \left( |U(t_1 - u, \omega_1)|^2, |U(t_2 - u, \omega_2)|^2 \right) dudv$

Más aún, puede escribirse

$$Y(t, \omega) = \log(f(t, \omega)) + \varepsilon(t, \omega)$$

donde las variables  $\varepsilon(t, \omega)$  satisfacen que

- $E[\varepsilon(t, \omega)] = 0$
- $\text{Var}(\varepsilon(t, \omega)) \approx \frac{C}{\tau} \int_{-\infty}^{\infty} |\Gamma(\theta)|^4 d\theta$

En particular, se puede usar numéricamente el que

$$\sum_{i=1}^N (Y(t, \omega_i) - \bar{Y}(\bullet, \omega_i))^2 \sim \sigma^2 \chi^2(N)$$

con  $\sigma^2 = \text{Var}(\varepsilon(t, \omega))$ , y  $\bar{Y}(\bullet, \omega) = \frac{1}{M} \sum_{j=1}^M Y(t_j, \omega)$ .



# Metodología, práctica

---

# Registro de PSG

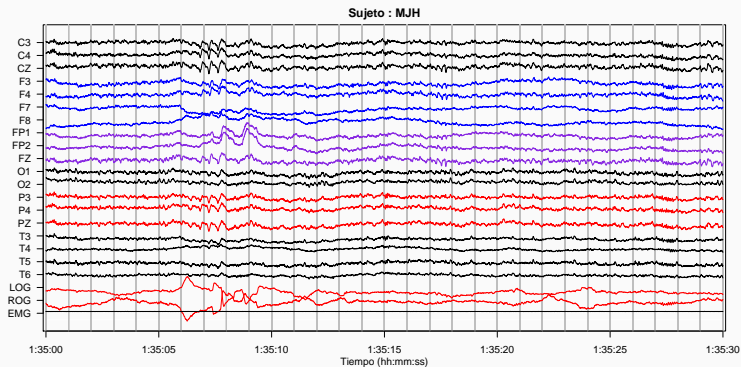
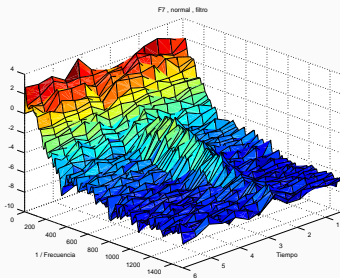


Figura 1: PSG: 19 electrodos EEG, 4 electrodos EOG (horizontal y vertical), 2 electrodos EMG en músculos submentonianos

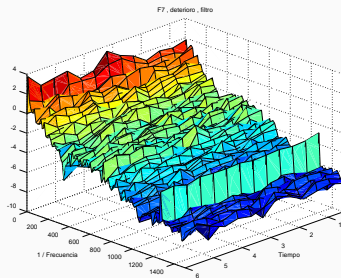
pelis



T : 0

I+R : 0

T+I+R : 0



T :  $4.36434e-07$

I+R : 0.0001575723

T+I+R :  $6.98897e-06$

## Priestley–Subba Rao stationarity Test for datos

---

Samples used	: 3072
Samples available	: 3069
Sampling interval	: 1
SDF estimator	: Multitaper
Number of (sine) tapers	: 5
Centered	: TRUE
Recentered	: FALSE
Number of blocks	: 11
Block size	: 279
Number of blocks	: 11
p-value for T	: 0.4130131
p-value for I+R	: 0.1787949
p-value for T+I+R	: 0.1801353

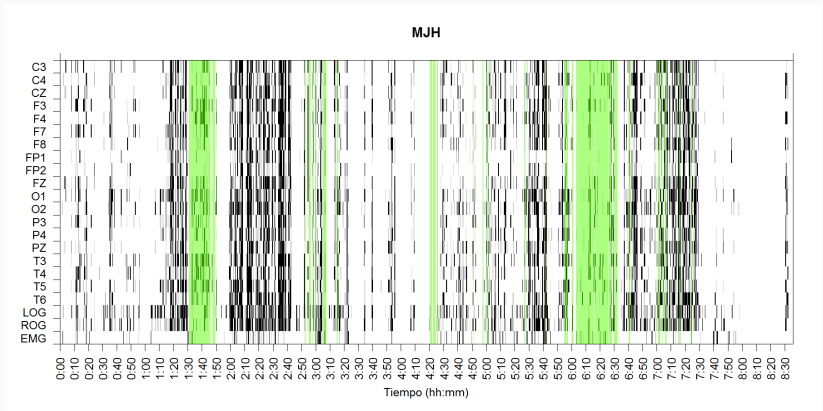
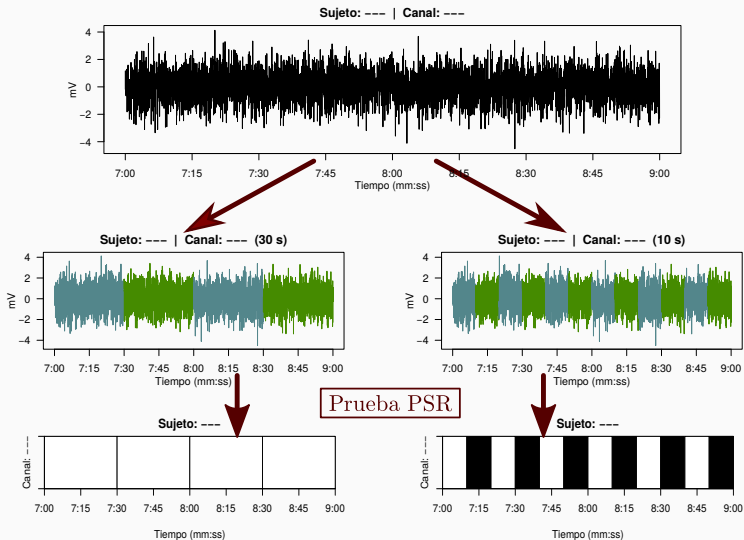
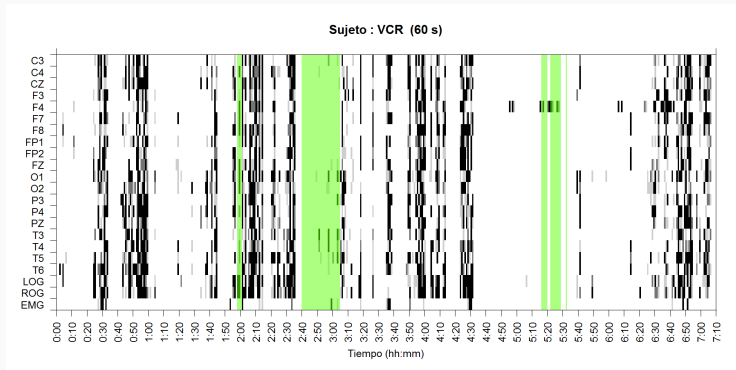


Figura 2: Disposición gráfica para los resultados de la prueba PSR. En verde el sueño MOR.

# Efecto del tamaño de la época

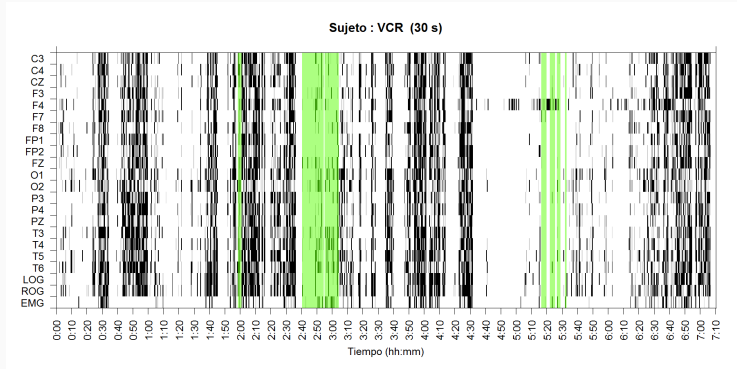


# Sobre el tamaño de la época

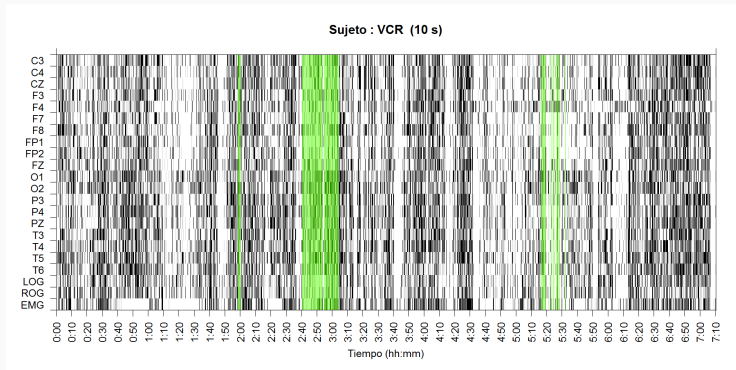




# Sobre el tamaño de la época

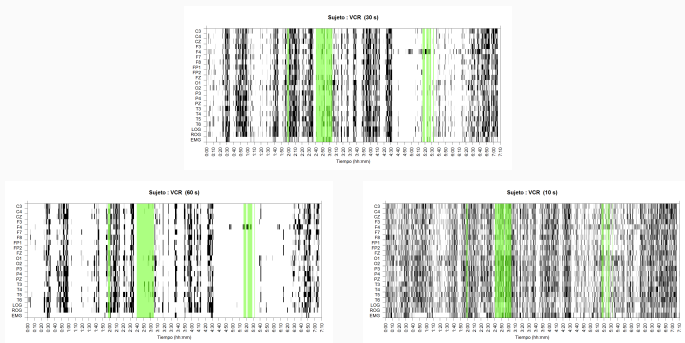


# Sobre el tamaño de la época



# Sobre el tamaño de la época

## Estacionariedad local<sup>2</sup>



<sup>2</sup>Bernard Allan Cohen y Anthony Sances. “Stationarity of the human electroencephalogram”. En: Medical and Biological Engineering and Computing 15.5 (1977), págs. 513-518.